

# A Rapid and Low-Cost Synthesis of Kesterite Cu<sub>2</sub>ZnSnS<sub>4</sub> Microparticles by Microwave Irradiation

Xianhua Chai, Hongmei Qing, Tao Shen, Shuhong Sun, Yan Zhu\*

Kunming University of Science and Technology, Kunming Yunnan

Email: \*zhuyankmust@foxmail.com

Received: Mar. 23<sup>rd</sup>, 2018; accepted: Apr. 17<sup>th</sup>, 2018; published: Apr. 25<sup>th</sup>, 2018

---

## Abstract

With a special solvent, the mixture of ethylene glycol (EG) and triethylenetetramine (TETA), plate-like kesterite Cu<sub>2</sub>ZnSnS<sub>4</sub> (CZTS) microparticles were successfully synthesized by a rapid and low-cost microwave-assisted method. In comparison with the traditional solution process for preparing Cu<sub>2</sub>ZnSnS<sub>4</sub> powders, the reaction time was merely 3 minutes. The samples were characterized by X-ray diffraction, Raman spectroscopy, scanning electronic microscope, transmission electron microscopy and UV-vis spectrophotometer. The results showed that the kesterite Cu<sub>2</sub>ZnSnS<sub>4</sub> microparticles have single phase and stoichiometric composition with plate-like diameters ranging from 300 nm to 1000 nm. The CZTS microparticles have an optical band gap of 1.5 eV, which matches well with optimal direct band gap (~1.5 eV).

## Keywords

Kesterite, CZTS, Microwave

---

# 微波法快速低成本制备锌黄锡矿铜锌锡硫

柴鲜花, 青红梅, 沈 韬, 孙淑红, 朱 艳\*

昆明理工大学, 云南 昆明

Email: \*zhuyankmust@foxmail.com

收稿日期: 2018年3月23日; 录用日期: 2018年4月17日; 发布日期: 2018年4月25日

---

\*通讯作者。

## 摘要

本文以一定比例的乙二醇(EG)和三乙烯四胺(TETA)混合物作为溶剂，通过快速、低成本的微波辅助方法成功合成了锌黄锡矿铜锌锡硫( $\text{Cu}_2\text{ZnSnS}_4$ , CZTS)微粒。与传统制备 $\text{Cu}_2\text{ZnSnS}_4$ 粉末的溶液法相比，反应时间仅为3分钟，是目前已知文献报道的最快合成速度。文中通过X射线衍射、拉曼光谱、扫描电子显微镜、透射电子显微镜和紫外可见分光光度计对样品进行表征。结果表明，锌黄锡矿铜锌锡硫微粒为纯相，其颗粒大小范围为300~1000 nm。铜锌锡硫微粒具有1.5 eV的光学带隙，其与最佳直接带隙(~1.5 eV)匹配良好。

## 关键词

锌黄锡矿，铜锌锡硫，微波

Copyright © 2018 by authors and Hans Publishers Inc.

This work is licensed under the Creative Commons Attribution International License (CC BY).

<http://creativecommons.org/licenses/by/4.0/>



Open Access

## 1. 引言

近年来，薄膜太阳能电池在全球范围内得到大力发展，其具有成本低、重量轻和易弯曲等优点。在用于薄膜太阳能电池的不同类型的吸收材料中，铜铟镓硒( $\text{CuInGaSe}_2$ , CIGS)因其性能稳定，转换效率达20%以上而成为最佳太阳能吸收材料之一[1] [2]。然而，铜铟镓硒的成分中镓有毒且可用性低，铟和镓较为昂贵从而阻碍了铜铟镓硒进一步大规模推广。铜锌锡硫(CZTS)具有光学直接带隙(~1.5 eV)和较大吸收系数( $>10^4 \text{ cm}^{-1}$ )并且其原料无毒，锌和锡地壳含量丰富价格低廉，适用于替代CIGS 薄膜太阳能电池[3]。此外，通过 Shockley-Queisser 光子平衡计算，铜锌锡硫薄膜太阳能电池的理论极限接近 32.2%，因此有很大的改进空间[4]。由于铜锌锡硫这些经济优势和优良的性能，近年越来越多的研究者研究铜锌锡硫在太阳能电池中的应用[5] [6]。

合成铜锌锡硫颗粒的主要方法包括热注入[4] [7] [8]、溶剂热[9] [10]、球磨[11] [12]和一锅煮[13] [14]等。以上均为非真空法，相比于真空法来说其具有低成本和高产量的优势[15]。然而溶剂热和球磨法的设备相对复杂且设备要求较高；溶剂热反应需要高温高压条件才能获得所需产物，并且难以控制。同时，这些方法的反应时间为 30 分钟至 48 小时，反应时间较长。铜锌锡硫作为薄膜太阳能电池是一种商业型应用半导体材料，所以降低反应成本和时间也是目前的商业需求。微波辐射在学术界和工业界是广泛使用的成熟技术，它具有制备简单，反应时间大大缩短的优点[16] [17]。微波加热是微波与物质分子相互作用并被吸收而产生的热效应，也就是说一般微波作用时，使极性分子产生偶极矩转向极化，因为微波形成的交变电场以每秒高达数亿次的高速变向，偶极矩转向极化不能够跟上交变电流改变的速度，导致偶极矩极化落后于电场，从而导致材料内部功率耗散，一部分微波能转化为热能，从而使材料自身得以升温加热。所以微波加热较传统加热更加的高效快速，通过体加热的方式使物料迅速升温，达到快速加热的效果。Hong 等报道了微波辐射法制备 CZTS 纳米晶，反应时间减少到 21 分钟左右[18]。Kim 等和 Sarswat 等通过采用微波法反应合成铜锌锡硫使反应时间进一步缩短到 10~15 分钟[19] [20]。此外，许多研究小组利用商业微波炉来有效降低设备成本[18] [19] [20]。Shen 等采用微波法制备了铜锌锡硫颗粒，反应时间缩短到 5 分钟，但有杂质 ZnS 的存在[21]。

因此，本文采用乙二醇(EG)和三亚乙基四胺(TETA) (EG:TETA 的体积比为 1:6) [22]的特殊混合溶剂在大气条件下通过微波照射合成铜锌锡硫颗粒，其具有快速、简便、环保且高效的特点。我们研究了一种简单的微波辅助方法，使用商用微波炉在不退火的情况下研究纯相锌黄锡矿铜锌锡硫微粒，反应时间仅需 3 分钟。

## 2. 试验材料与方法

制备方法如下：将 2 mmol 氯化铜(II)二水合物( $\text{CuCl}_2 \cdot 2\text{H}_2\text{O}$ )，1.25 mmol 乙酸锌(II)二水合物( $\text{Zn}(\text{CH}_3\text{COO})_2 \cdot 2\text{H}_2\text{O}$ )，1 mmol 氯化锡(II)二水合物( $\text{SnCl}_2 \cdot 2\text{H}_2\text{O}$ )，6 mmol 硫脲( $\text{CH}_4\text{N}_2\text{S}$ )溶解于 6 mL 乙二醇(EG)和 36 mL 三亚乙基四胺(TETA)中。将原料完全溶解在有机混合溶剂中得到前驱体溶液，然后放入商用微波炉(2.45 GHz，最大功率 800 W)中。前驱体在微波炉反应加热 3 分钟，在反应过程中溶液颜色从蓝色变为黑色。反应完成后通过离心(8000 rpm, 6 min)清洗(乙醇和去离子水)数次。最后将洗净后的黑色沉淀物在 60°C 的真空干燥箱中干燥 6 小时。整个实验是在无任何气体保护的环境下进行的。

## 3. 试验结果及讨论

通过 X 射线衍射(XRD)和拉曼光谱研究合成的铜锌锡硫微粒的结晶度和相纯度。使用能谱扫描电镜(EDS)和扫描电子显微镜(SEM)分析合成产物的形态和组成。使用紫外可见分光光度计研究所得粉末的光学性质。

### 3.1. 物相分析

图 1(a)显示了在 800 W、3 min 的条件下微波制备的产物的 XRD 图谱。图中显示  $2\theta$  为 18.21°, 28.40°, 32.93°, 47.30°, 56.16°, 69.24°, 76.42° 的衍射峰对应锌黄锡矿铜锌锡硫结构(JCPDS No. 26-0575)的(101), (112), (200), (220), (312), (008) 和 (332) 晶面[23]。该结构与立方  $\text{ZnS}$  和四方  $\text{Cu}_2\text{SnS}_3$  类似[24]。所以为了进一步确认合成的铜锌锡硫微粒的相纯度，采用拉曼光谱进一步表征。如图 1(b) 所示，样品在  $327\text{ cm}^{-1}$  出现一个主峰，这是由于锌黄锡矿铜锌锡硫在这个位置对拉曼有作用。然而，立方  $\text{ZnS}$  拉曼峰位在  $351\text{ cm}^{-1}$  和  $274\text{ cm}^{-1}$ ，四方  $\text{Cu}_2\text{SnS}_3$  的拉曼峰位为  $318\text{ cm}^{-1}$  和  $348\text{ cm}^{-1}$  [25] [26]。而所测拉曼峰与两者均不吻合，所以产物为纯相锌黄锡矿铜锌锡硫，无其他杂质。

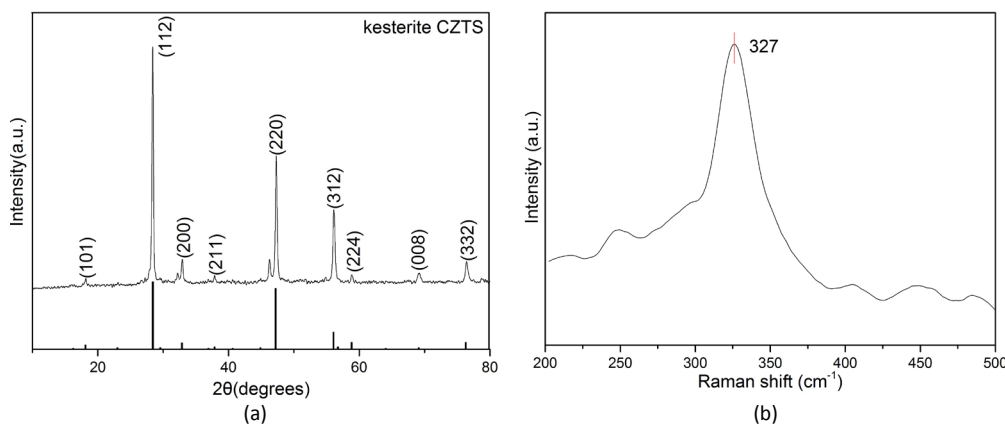
### 3.2. 形貌分析

图 2(a)显示了在 800 W、3 min 条件下合成的铜锌锡硫粉末的 SEM 图像。图中可看出其形貌为类平板状，直径大小范围为 300 nm 到 1000 nm。基于 EDS 光谱的结果表明(图 2(b))，产物的平均组成为  $\text{Cu}:\text{Zn}:\text{Sn}:\text{S} = 2.3:0.58:1:3.61$ ，锌含量少可能是由于反应时间太快从而使锌不能完全进入反应体系中。

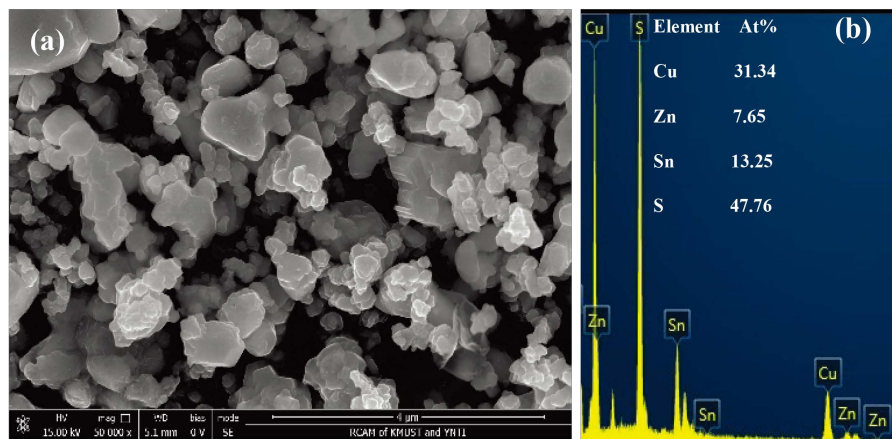
图 3 为锌黄锡矿铜锌锡硫的 TEM，其中包含选区电子衍射(SAED)和高分辨透射电子显微镜(HRTEM)。图 3(a)中的粒子尺寸约为 350 nm，与 SEM 显示粉末的粒径范围为 300~1000 nm 吻合。SAED 图(图 3(a)中插图)表明微粒是单晶，因此 CZTS 粒子具有良好的结晶度。图 3(b)显示产物具有明确的晶格条纹，晶格间距为 0.27 nm 对应于锌黄锡矿结构铜锌锡硫的(200)面。

### 3.3. 光学性能

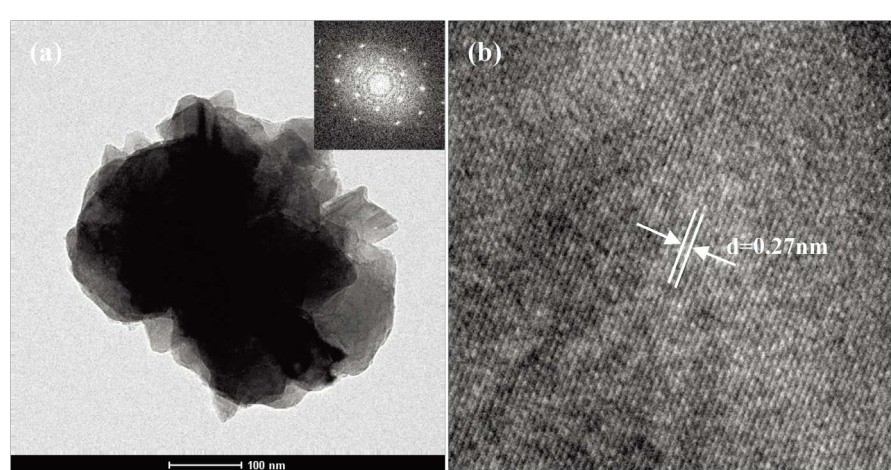
合成的铜锌锡硫的紫外-可见光吸收光谱如图 4(a)所示。由图可以看出该材料在可见光范围内对光吸收有所不同，在 400 nm 时吸收较弱，随着波长增加吸收逐渐增强，到波长为 680 nm 为一个波峰。由于铜锌锡硫为直接带隙材料，吸收系数满足关系式  $(\alpha h\nu)^2 = A(h\nu - E_g)$ ，( $\alpha$  = 吸光度， $h$  = 普朗克常数， $\nu$  = 频率， $E_g$  = 带隙能量， $A$  为常数)。通过绘制  $(\alpha h\nu)^2$  和光子能量  $h\nu$  的函数关系图，然后采用外推法得到两



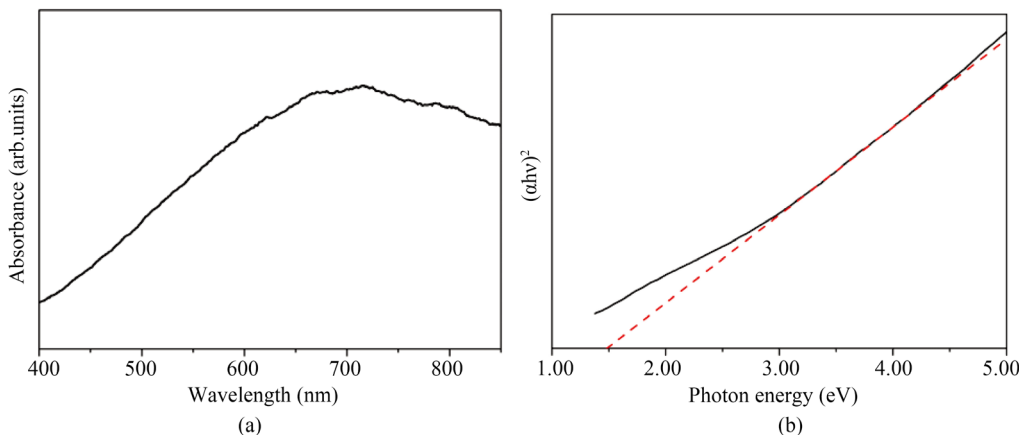
**Figure 1.** (a) XRD patterns and (b) Raman spectra of the typical sample synthesized at 800 W for 3 min  
**图 1.** 在 800 W、3 min 条件下合成产物的：(a) XRD 图谱，(b) 拉曼光谱



**Figure 2.** (a) An SEM image; (b) The EDS spectrum of the CZTS microparticles synthesized at 800 W for 3 min  
**图 2.** 在 800 W、3 min 条件下合成的铜锌锡硫微粒的：(a) SEM 图谱；(b) EDS 光谱



**Figure 3.** (a) The TEM and (b) HRTEM images of the kesterite CZTS (the inset of Figure 3(a) shows the SAED of the microparticles)  
**图 3.** 锌黄锡矿铜锌锡硫的：(a) TEM 图谱，(b) HRTEM 光谱(图 3(a)中嵌入图为微粒的衍射花样)



**Figure 4.** (a) The UV-vis absorption spectrum; (b) The plot of  $(\alpha h\nu)^2$  versus photon energy of the kesteite CZTS microcrystals

**图4.** 锌黄锡矿铜锌锡硫微粒的：(a) 紫外光学图谱；(b)  $(\alpha h\nu)^2 \sim h\nu$  曲线图

者的线性拟合交点，取该值得到产物的光学带隙。如图 4(b)所示所得光学带隙能量为 1.5 eV，这与文献中报道的光学带隙(1.4~1.56 eV)相符[4] [9] [10]。

## 4. 结论

综上所述，采用 EG 和 TETA 一定比例混合溶剂作为环境友好型溶剂，在常压条件下 800 W 微波辐射，合成了大小为 300~1000 nm 的类板状锌黄锡矿铜锌锡硫微粒。采用这种微波辅助加热方法加速了铜锌锡硫的反应，反应时间仅需要 3 分钟，是目前已知文献报道的最短反应时间。通过紫外吸收测量铜锌锡硫微粒的带隙为 1.5 eV，这符合太阳能电池最佳光学带隙范围。

## 基金项目

国家自然科学基金(No.61764010)。

## 参考文献

- [1] Jackson, P., Hariskos, D., Lotter, E., Paetel, S., Wuerz, R., Menner, R., Wischmann, W. and Powalla, M. (2011) New World Record Efficiency for Cu(In,Ga)Se<sub>2</sub> Thin-Film Solar Cells beyond 20%, *Progress in Photovoltaics: Research and Applications*, **19**, 894-897. <https://doi.org/10.1002/pip.1078>
- [2] Guchhait, A., Dewi, H.A., Leow, S.W., Wang, H., Han, G., Suhaimi, F.B., Mhaisalkar, S., Wong, L.H. and Mathews, N. (2017) Over 20% Efficient CIGS-Perovskite Tandem Solar Cells. *ACS Energy Letters*, **2**, 807-812. <https://doi.org/10.1021/acsenergylett.7b00187>
- [3] Riha, S.C., Parkinson, B.A. and Prieto, A.L. (2009) Solution-Based Synthesis and Characterization of Cu<sub>2</sub>ZnSnS<sub>4</sub> Nanocrystals. *Journal of the American Chemical Society*, **131**, 12054-12055. <https://doi.org/10.1021/ja9044168>
- [4] Guo, Q., Hillhouse, H.W. and Agrawal, R. (2009) Synthesis of Cu<sub>2</sub>ZnSnS<sub>4</sub> Nanocrystal Ink and Its Use for Solar Cells. *Journal of the American Chemical Society*, **131**, 11672-11673. <https://doi.org/10.1021/ja904981r>
- [5] Steinhagen, C., Panthani, M.G., Akhavan, V., Goodfellow, B., Koo, B. and Korgel, B.A. (2009) Synthesis of Cu<sub>2</sub>ZnSnS<sub>4</sub> Nanocrystals for Use in Low-Cost Photovoltaics. *Journal of the American Chemical Society*, **131**, 12554-12555. <https://doi.org/10.1021/ja905922j>
- [6] Katagiri, H., Jimbo, K., Maw, W.S., Oishi, K., Yamazaki, M., Araki, H. and Takeuchi, A. (2009) Development of CZTS-Based Thin Film Solar Cells. *Thin Solid Films*, **517**, 2455-2460. <https://doi.org/10.1016/j.tsf.2008.11.002>
- [7] Xia, D., Zheng, Y., Lei, P. and Zhao, X. (2013) Characterization of Cu<sub>2</sub>ZnSnS<sub>4</sub> Thin Films Prepared by Solution-Based Deposition Techniques. *Physics Procedia*, **48**, 228-234. <https://doi.org/10.1016/j.phpro.2013.07.036>
- [8] Nguyen, D.-C., Ito, S. and Dung, D.V.A. (2015) Effects of Annealing Conditions on Crystallization of the CZTS Absorber and Photovoltaic Properties of Cu(Zn,Sn)(S,Se)<sub>2</sub> Solar Cells. *Journal of Alloys and Compounds*, **632**, 676-680.

<https://doi.org/10.1016/j.jallcom.2015.01.258>

- [9] Cao, M. and Shen, Y. (2011) A Mild Solvothermal Route to Kesterite Quaternary Cu<sub>2</sub>ZnSnS<sub>4</sub> Nanoparticles. *Journal of Crystal Growth*, **318**, 1117-1120. <https://doi.org/10.1016/j.jcrysgro.2010.10.071>
- [10] Gong, Z., Han, Q., Li, J., Hou, L., Bukhtiar, A., Yang, S. and Zou, B. (2016) A Solvothermal Route to Synthesize Kesterite Cu<sub>2</sub>ZnSnS<sub>4</sub> Nanocrystals for Solution-Processed Solar Cells. *Journal of Alloys and Compounds*, **663**, 617-623. <https://doi.org/10.1016/j.jallcom.2015.12.181>
- [11] Pani, B., Singh, R.K. and Singh, U.P. (2015) Impact of Pre-Annealing Temperature on the Formation of Cu<sub>2</sub>ZnSnS<sub>4</sub> Absorber Layer. *Journal of Alloys and Compounds*, **648**, 332-337. <https://doi.org/10.1016/j.jallcom.2015.05.207>
- [12] Pareek, D., Balasubramaniam, K.R. and Sharma, P. (2015) Synthesis and Characterization of bulk Cu<sub>2</sub>ZnSnX<sub>4</sub>(X: S, Se) via Thermodynamically Supported Mechano-Chemical Process. *Materials Characterization*, **103**, 42-49. <https://doi.org/10.1016/j.matchar.2015.03.014>
- [13] Zou, Z., Gao, Y., Long, F., Wang, J. and Zhang, J. (2015) One-Pot Solvothermal Synthesis of Wurtzite Cu<sub>2</sub>ZnSnS<sub>4</sub> Nanocrystals. *Materials Letters*, **158**, 13-16. <https://doi.org/10.1016/j.matlet.2015.05.063>
- [14] Zhong, J., Xia, Z., Zhang, C., Li, B., Liu, X., Cheng, Y.-B. and Tang, J. (2014) One-Pot Synthesis of Self-Stabilized Aqueous Nanoinks for Cu<sub>2</sub>ZnSn(S,Se)<sub>4</sub> Solar Cells. *Chemistry of Materials*, **26**, 3573-3578. <https://doi.org/10.1021/cm501270j>
- [15] Zhao, Y., Tao, W., Chen, X., Liu, J. and Wei, A. (2015) Synthesis and Characterization of Cu<sub>2</sub>ZnSnS<sub>4</sub> Nanocrystals Prepared by Microwave Irradiation Method. *Journal of Materials Science: Materials in Electronics*, **26**, 5645-5652. <https://doi.org/10.1007/s10854-015-3114-0>
- [16] Singh, R., Rangari, V.K., Sanagapalli, S., Jayaraman, V., Mahendra, S. and Singha, V.P. (2004) Nano-Structured CdTe, CdS and TiO<sub>2</sub> for Thin Film Solar Cell Applications. *Solar Energy Materials and Solar Cells*, **82**, 315-330. <https://doi.org/10.1016/j.solmat.2004.02.006>
- [17] Li, L., Qian, H. and Ren, J. (2005) Rapid Synthesis of Highly Luminescent CdTe Nanocrystals in the Aqueous Phase by Microwave Irradiation with Controllable Temperature. *Chemical Communications*, 528-530. <https://doi.org/10.1039/b412686f>
- [18] Saravana Kumar, R., Ryu, B.D., Chandramohan, S., Seol, J.K., Lee, S.-K. and Hong, C.-H. (2012) Rapid Synthesis of Sphere-Like Cu<sub>2</sub>ZnSnS<sub>4</sub> Microparticles by Microwave Irradiation. *Materials Letters*, **86**, 174-177. <https://doi.org/10.1016/j.matlet.2012.07.059>
- [19] Shin, S.W., Han, J.H., Park, C.Y., Kim, S.R., Park, Y.C., Agawane, G.L., Moholkar, A.V., Yun, J.H., Jeong, C.H., Lee, J.Y. and Kim, J.H. (2012) A Facile and Low Cost Synthesis of Earth Abundant Element Cu<sub>2</sub>ZnSnS<sub>4</sub> (CZTS) Nanocrystals: Effect of Cu Concentrations. *Journal of Alloys and Compounds*, **541**, 192-197. <https://doi.org/10.1016/j.jallcom.2012.06.086>
- [20] Sarswat, P.K. and Free, M.L. (2013) An Investigation of Rapidly Synthesized Cu<sub>2</sub>ZnSnS<sub>4</sub> Nanocrystals. *Journal of Crystal Growth*, **372**, 87-94. <https://doi.org/10.1016/j.jcrysgro.2013.03.022>
- [21] Wang, W., Shen, H. and He, X. (2013) Study on the Synthesis and Formation Mechanism of Cu<sub>2</sub>ZnSnS<sub>4</sub> Particles by Microwave Irradiation. *Materials Research Bulletin*, **48**, 3140-3143. <https://doi.org/10.1016/j.materresbull.2013.04.078>
- [22] Qing, H.M., Zhu, Y., Hu, Y.M., Hu, W., Zhou, W., Yi, J. and Shen, T. (2016) A Facile Two-Step-Heating Route to Synthesize Hierarchical Metastable Wurtzite Cu<sub>2</sub>ZnSnS<sub>4</sub> Microcrystals under the Open-Air Condition. *Materials Letters*, **176**, 177-180. <https://doi.org/10.1016/j.matlet.2016.04.084>
- [23] Song, Y., Liu, A., Mu, C., Huo, W., Lv, W. and He, W. (2015) A Facile and Scalable Route to Nano-Crystallized Kesterite Cu<sub>2</sub>ZnSnS<sub>4</sub> Fibers via Electrospinning/Sulfurization. *Materials Research Bulletin*, **61**, 504-510. <https://doi.org/10.1016/j.materresbull.2014.10.069>
- [24] Guo, Q., Ford, G.M., Yang, W.C., Walker, B.C., Stach, E.A., Hillhouse, H.W. and Agrawal, R. (2010) Fabrication of 7.2% Efficient CZTSSe Solar Cells Using CZTS Nanocrystals. *Journal of the American Chemical Society*, **132**, 17384-17386. <https://doi.org/10.1021/ja108427b>
- [25] Wang, W., Shen, H., Jiang, F., He, X. and Yue, Z. (2012) Low-Cost Chemical Fabrication of Cu<sub>2</sub>ZnSnS<sub>4</sub> Microparticles and Film. *Journal of Materials Science: Materials in Electronics*, **24**, 1813-1817. <https://doi.org/10.1007/s10854-012-1017-x>
- [26] Méndez-López, A., Morales-Acevedo, A., Acosta-Silva, Y.J. and Ortega-López, M. (2016) Synthesis and Characterization of Colloidal CZTS Nanocrystals by a Hot-Injection Method. *Journal of Nanomaterials*, **2016**, Article ID: 7486094. <https://doi.org/10.1155/2016/7486094>

知网检索的两种方式：

1. 打开知网首页 <http://kns.cnki.net/kns/brief/result.aspx?dbPrefix=WWJD>  
下拉列表框选择：[ISSN]，输入期刊 ISSN：2163-1557，即可查询
2. 打开知网首页 <http://cnki.net/>  
左侧“国际文献总库”进入，输入文章标题，即可查询

投稿请点击：<http://www.hanspub.org/Submission.aspx>

期刊邮箱：[aac@hanspub.org](mailto:aac@hanspub.org)